

## 一様流入する矩形沈殿池に於ける密度流の発生機構(第3報)

—流入のある整流壁面に沿う摩擦抵抗—

九大 正員 栗谷陽一

九大 学生員 ○金子 新

九大 学生員 菅 照夫

## 1. まえがき

矩形沈殿池に於いて、流入水と貯留水の密度差によつて、整流壁附近で発生する密度流に関する一連の報告を行なつておきた。<sup>(1)(2)</sup> 整流壁面に沿つて重力噴流が発生するわけであるが、今回は、この整流壁面に沿う摩擦抵抗に関する定量的評価を加えた。

## 2. 固体壁面上に沿う摩擦抵抗(混合距離理論の拡張)

沈殿池流入部の整流壁を、理想的に抵抗の十分大きな渗透壁と考へ、流れは、一様流速より滲出するものとする。壁面噴流に対するこの滲出の影響を検討するために、準備として、滲出のない普通の壁面噴流の境界層について、モデルを設定しておく。固体壁面上に沿う流れに関しては、粘性底層内では直線分布、乱流境界層内では対数則が別々に与えられている。ここでは、乱れエネルギー式を適用して、連続的な速度分布の解析解を推定してみる。乱れエネルギー式は、乱流拡散、圧力および粘性の仕事による乱れエネルギーの輸送を省略し、平均流による generation と、分子粘性および渦動粘性による dissipation で平衡を保つことを考へると、

$$\Omega = \kappa y w \left( \frac{du}{dy} \right)^2 - (\beta \nu + \kappa y w) \left( \frac{w}{\kappa y} \right)^2 \quad (1)$$

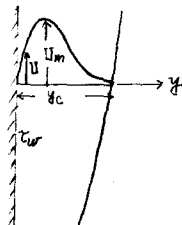
また、運動量保存則より

$$\Omega = (\nu + \kappa y w) \frac{du}{dy} - u_{w,0}^2 \quad (2)$$

を得る。

ただし、 $U$ : 平均流速  $\kappa$ : ガルダン常数 $w$ : 垂直方向の変動流速  $\beta$ : constant

$$u_{w,0} = \sqrt{\frac{c_w}{\nu}} \quad (c_w: \text{壁面摩擦力})$$



次の如く関係諸量を無次元化する。

$$\bar{u} = \frac{u}{u_{w,0}}, \Psi = \frac{\kappa y w}{\nu}, \gamma = \frac{\kappa y u_{w,0}}{\nu} \quad (3)$$

(3) &amp; (1), (2) に代入し整理すれば

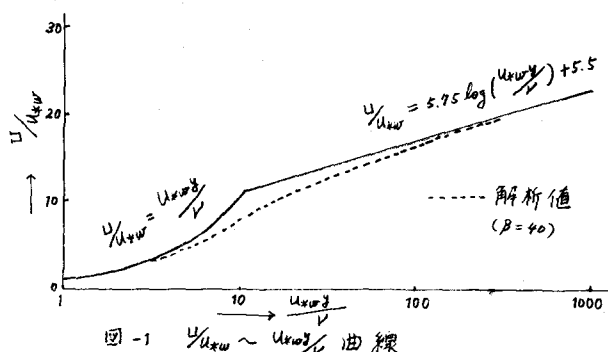
$$\gamma^2 = \Psi (\beta + \Psi) (1 + \Psi)^2 \quad (4)$$

$$\frac{d\Psi}{d\gamma} = \frac{1}{1 + \Psi} \quad (5)$$

を得る。この結果は、 $\beta = 40$  とする時

N. Kuradse の円管内流れの流速分布

実測値に最も接近する。

したがつて、ここでは  $\beta = 40$  を用いる。図-1  $u/u_{w,0}$  ~  $y/c_w$  曲線

### 3. 渗出のある壁面に沿う摩擦抵抗

壁面から流入のある場合、乱れエネルギー輸送項を省略することはさうに危険であろうが、ここでは流入の無い場合の拡張として乱れエネルギー輸送を省略しても、壁面抵抗に関することは、ある程度の推測を行なうことができると考える。

乱れエネルギー式および運動量保存則はそれぞれ(6) (7)で与えられる。

$$U_0 \frac{d}{dy} \left( \frac{1}{x} \alpha w^2 \right) = K \gamma w \left( \frac{dU}{dy} \right)^2 - (BV + Kyw) \cdot \left( \frac{w}{Ky} \right)^2 \quad (6)$$

$$U_0 U = (V + Kyw) \frac{dU}{dy} - U_{new}^2 \quad (7)$$

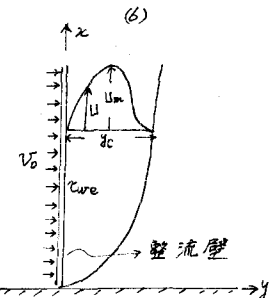
ただし、 $U_{new}$ ：流入のある場合の壁面上の摩擦速度

$$U_0 : 渗出流速 \quad (= \sqrt{\frac{U_{new}}{\rho}}) \quad (8)$$

$$\alpha, \beta : constant$$

次り如く関係諸量を無次元化する。

$$\bar{U} = \frac{U}{U_{new}}, \quad \bar{W} = \frac{w}{U_{new}}, \quad \bar{\gamma} = \frac{U_{new} \bar{U}}{V}, \quad \lambda = \frac{U_0}{U_{new}} \quad (8)$$



(8)を(6), (7)に代入すれば

$$\alpha \cdot \lambda \frac{d\bar{W}}{d\bar{\gamma}} = K \bar{\gamma} \left( \frac{d\bar{U}}{d\bar{\gamma}} \right)^2 - (\beta + K \bar{\gamma} \bar{W}) \frac{\bar{W}}{K \bar{\gamma}^2} \quad (9)$$

$$\lambda \cdot \bar{U} = (1 + K \bar{\gamma} \bar{W}) \frac{d\bar{U}}{d\bar{\gamma}} - 1 \quad (10)$$

を得る。ここで、 $\alpha$ は、Lauferrによる測定結果より 14.0 とし、また  $\beta = 40$  とする。 $(9), (10)$  を入力を  $\lambda$  メータと 1 で数値解析し  $\bar{U}$ ,  $\bar{W}$  を決定する。

つぎに、壁面からある距離  $\eta$  に於ける摩擦速度を  $U_{fric}(\eta)$  とすれば (11) 式より

$$U_0 U = U_{fric}(\eta)^2 - U_{new}^2$$

となる。これを簡単にするば

$$\left[ \frac{U_{fric}(\eta)}{U_{new}} \right]^2 = 1 + \lambda \cdot \bar{U}(\eta) = G(\eta) \quad (11)$$

を得る。図-2 は  $G(\eta) = \left[ \frac{U_{fric}(\eta)}{U_{new}} \right]^2$  と、 $\eta = \frac{U_{new} \bar{U}}{V}$  の関係を示す。

流入の影響は、 $\eta$  の小さい区间 ( $0 < \eta < \eta_d$ ) に限られ、それより外側の区间 ( $\eta_d < \eta$ ) では、摩擦速度に於けるも流入のない場合と一致すると考えられる。即ち  $U_{fric}(\eta_d) = U_{new}$  となる。この時 (11) 式は

$$\frac{U_{new}}{U_{fric}} = \frac{1}{\sqrt{G(\eta_d)}} \quad (12)$$

となる。新たに  $\lambda_1 = \frac{U_0}{U_{new}} = \frac{2}{\sqrt{G(\eta_d)}}$

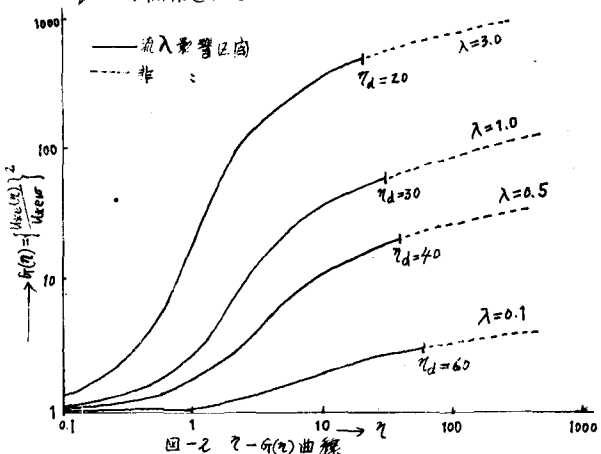
とした時、表-1 より  $\lambda_1$  の増加と共に

$\frac{U_{new}}{U_{fric}}$  は急速に減少することが判った。

参考文献：  
①昭和43年西部支部研究発表論文集  
②第28回土木学会講演概要集(1993) (II) p565

③Schlichting "Boundary Layer Theory" McGraw-Hill  
1968 (six Edition) p565

④Townsend "The Structure of Turbulent Shear Flow"  
1956, p204



$\lambda_1 = \frac{U_0}{U_{new}}$	0	0.057	0.109	0.128	0.140
$\frac{U_{new}}{U_{fric}}$	1	0.595	0.218	0.128	0.047

表-1